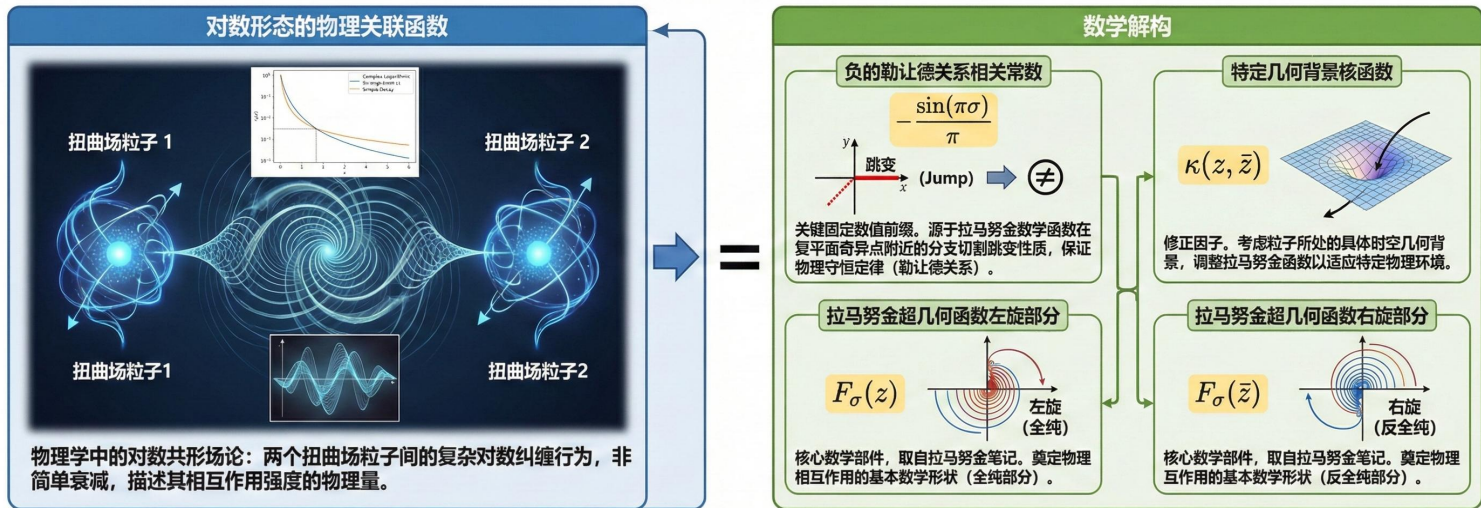


拉马努金数学成果与对数共形场论物理量的完美构建 (Ramanujan's Mathematics & LCFT Physical Quantities)

$$G_{\log}(z, \bar{z}) = -\frac{\sin(\pi\sigma)}{\pi} \kappa(z, \bar{z}) F_\sigma(z) F_\sigma(\bar{z})$$



总结：逻辑流

复杂的物理纠缠过程 (左侧) → [精确构建] → 由拉马努金纯数学函数 (左旋/右旋) + 经过几何修正 (核函数) + 乘以由奇异性决定的常数 (勒让德关系) 完美构筑 (右侧)

结论：这一公式完美展示了如何利用拉马努金的纯数学成果来精确构建对数共形场论中的核心物理量。

拉马努金的 $1/\pi$ 级数与共形场论

Faizan Bhat 和 Aninda Sinha

摘要：1914年，拉马努金揭示了17个非凡的 $1/\pi$ 无限级数。在这项工作中，我们通过将这些级数的物理起源与二维对数共形场论 (LCFTs) 联系起来，揭示了它们的物理起源。LCFTs 出现在诸如分数量子霍尔效应、渗透、聚合物甚至全息等多种场景中。通过这种 LCFT 连接，我们根据基本的 CFT 数据——算符谱和 OPE 系数——重新解释了这些无限级数。这一视角引出了受物理学启发的新型 $1/\pi$ 近似。借鉴拉马努金的公式，我们构建了一系列用于展开 LCFT 相关函数的新基底，其收敛速度远快于标准的共形块分解。这是利用最近开发的弦论/参数交叉对称色散关系实现的。值得注意的是，在使用这些新展开式时，某个特定微分算符（自然产生于拉马努金连接）的作用显著增强了收敛性，整个贡献坍缩为对数单位算符的贡献。这种惊人的简化暗示了 LCFTs 的一种普适属性。最后，我们讨论了这种意想不到的数学-物理连接的新型全息解释。

引言

1914年，拉马努金 [1] 记录了 17 个著名的 π 公式，其形式如下：

$$\sum_{n=0}^{\infty} \frac{(\frac{1}{2})_n (\sigma)_n (1-\sigma)_n}{n!^3} (a + bn) z_0^n = \frac{1}{\pi} \quad (1)$$

其中， $\sigma \in \{\frac{1}{2}, \frac{1}{3}, \frac{1}{4}, \frac{1}{6}\}$ ，而 z_0, b 和 a 是代数数。目前，许多此类拉马努金式公式已广为人知 [2]。这些公式不仅为随后所有 π 的快速收敛级数奠定了基础，还导致了多项突破，继续塑造着当今的数学，特别是解析数论和计算数学。在这项工作中，我们证明这些公式在二维对数共形场论 (LCFTs) 的四点相关函数中具有自然的物理学解释 [3-5]。LCFTs 是一类引人入胜的非幺正 CFTs。它们描述了诸如临界致密聚合物 [3]、渗透 [6-8] 和分数量子霍尔效应 [9] 等统计物理系统。它们也出现在天体 CFT [10] 的研究中，并在全息背景下描述 AdS 施瓦西黑子背景下的特定质量标量场的动力学 [11]——最后一点连接将在附录中详述。拉马努金的非凡公式自然产生于 LCFTs 这一事实，为物理与数学交汇处的进一步探索开辟了途径。

所有拉马努金式公式都源于勒让德关系 (Legendre relation)，其形式为 [12, 13]：

$$z(z-1)(F_\sigma(z)\partial_z F_\sigma(1-z) - F_\sigma(1-z)\partial_z F_\sigma(z)) = \frac{\sin \pi\sigma}{\pi} \quad (2)$$

其中

$$F_\sigma(z) = {}_2F_1(\sigma, 1-\sigma, 1, z) \quad (3)$$

到达物理连接的一个重要线索在于 $F_\sigma(z)$ 的解析结构，它在 $z = 1$ 处表现出对数奇异性。这指引我们走向二维 LCFTs，这类理论以其相关函数具有对数行为而非典型的幂律行为而闻名。更准确地说，我们考虑 $c = -2$ LCFT 中扭曲算符 (twist operators) 的四点相关函数，这可以说是文献中最深入研究的 LCFT [3, 4, 14-17]——我们在附录中提供了有关 $c = -2$ LCFT 的更多细节，并评论了 [18] 中的其他中心荷。该相关函数已被明确计算，给出为 [3, 4]：

$$G(z, \bar{z}) = \kappa(z, \bar{z})(F_\sigma(z)F_\sigma(1 - \bar{z}) + F_\sigma(\bar{z})F_\sigma(1 - z)) \equiv G_L(z, \bar{z}) + G_R(z, \bar{z}) \quad (4)$$

其中 $\kappa(z, \bar{z}) = |z(1 - z)|^{2\sigma(1 - \sigma)}$ 。我们使用 σ 来表示算符的扭曲，它们的共形权重为 $\Delta = \sigma(\sigma - 1)$ ， z 是二维共形跨比 (cross-ratio)。现在，回想一下 Witt 代数生成元由 $\ell_n = -z^{n+1}\partial_z$, $\bar{\ell}_n \equiv -\bar{z}^{n+1}\partial_{\bar{z}}$ 给出。定义算符 $L = -(\ell_0 - \bar{\ell}_0) + (\ell_1 - \bar{\ell}_1)$ ，它是旋转和特殊共形变换的线性组合，用 LCFT 语言表达的勒让德关系非常简单：

$$LG_L(z, \bar{z}) \Big|_{\bar{z}=z} = \kappa(z, z) \frac{\sin(\pi\sigma)}{\pi} = -LG_R(z, \bar{z}) \Big|_{\bar{z}=z} \quad (5)$$

因此，我们看到公式 (1) 中出现的 σ 被映射到 LCFT 中扭曲算符的扭曲，或者等效地，映射到其共形维度。在附录中，我们讨论了通过全息术对勒让德关系的物理阐释。

【高三解读】

高三深度学术解读

1. 跨学科的碰撞：数学天才与现代物理

拉马努金 (Srinivasa Ramanujan) 是数学史上的传奇，他凭借超凡的直觉提出了成千上万个公式，很多公式在几十年后才被证明。这篇论文展示了一个迷人的趋势：纯数学（如计算 π 的级数）与前沿理论物理（共形场论，CFT）之间存在着深层的联系。在高三数学中，我们学习无穷等比级数，而拉马努金的级数则涉及更复杂的“超几何函数”。

2. 核心数学工具：级数与超几何函数

- **级数公式 (1)**：这个结构对同学们来说可能很陌生。 $(\sigma)_n$ 是升阶乘 (Pochhammer 符号)。重点在于，拉马努金发现通过某些复杂的比例和系数叠加，无穷级数的和竟然精准等于 $1/\pi$ 。这在数值计算中极其重要，现代超级计算机计算 π 到万亿位，很多都借鉴了这类公式的变体。
- **超几何函数 $F_\sigma(z)$** ：可以把它看作是等比级数的“高级进化版”。它是许多特殊函数的母函数。公式 (2) 中的勒让德关系本质上是关于这些函数的一种“守恒律”或对称性。

3. 物理背景：什么是共形场论 (CFT) ？

虽然这是研究生水平的内容，但我们可以用通俗的语言理解：

- **共形对称性**: 想象一个物体, 你无论放大、缩小还是旋转, 它的某些物理性质保持不变。在相变点 (比如冰融化成水的瞬间), 系统往往具有这种对称性。
- **对数奇异性**: 文中提到的“对数行为”是 LCFT 的特征。在普通 CFT 中, 相关函数通常随距离成幂律衰减 (如 $1/r^2$), 而 LCFT 引入了 $\ln(r)$ 项, 这对应于物理系统中的某种“耗散”或非幺正性。

4. 考点关联与思维启发:

- **导数与算符**: 公式 (2) 中出现了 ∂_z (对 z 求导)。在高三物理中, 我们学过算符的概念 (虽然没明说), 比如速度算符 $v = \frac{d}{dt}$ 。文中定义的 L 算符本质上是对空间变换的一种数学描述。
- **全息原理 (Holography)**: 文中提到“全息解释”。这就像通过观察一个球体的表面 (低维边界), 就能推断出球体内部 (高维体) 发生了什么。这是目前物理学最前沿的量子引力研究方向。

5. 学习启示:

这篇文章告诉我们, 数学公式不仅仅是死板的数字堆砌。拉马努金在 1914 年写下的公式, 在一百多年后成为了理解量子场论和黑洞物理的关键钥匙。保持好奇心, 基础数学知识 (如导数、级数、函数对称性) 是通往这些宏大理论的必经之路。

第 2 页

【原文翻译】

并不会经常被报道——例如参见 [2]。虽然这些公式新颖且有趣, 但它们的收敛速度并不快。这是因为分量 $g_{\Delta,\ell}(z)$ (见 (14)) 仅在 $z, \bar{z} \sim 0$ 附近构成良好的基组, 而相关函数同时包含 $F_\sigma(z)$ 和 $F_\sigma(1 - z)$ 。因此, 对于任何 $0 \leq z \leq 1$, 收敛都很缓慢。拉马努金 (Ramanujan) 也遇到了同样的问题: 将 $F_\sigma(z)$ 和 $F_\sigma(1 - z)$ 的级数展开式直接代入勒让德关系式 (Legendre relation) 并不能得到 $1/\pi$ 的快速收敛级数。为了解决这个问题, 他提出了一些天才的技巧, 利用了椭圆积分和模方程 (modular equations) 的特殊性质, 我们稍后将对此进行回顾。他技术的核心思想是改写勒让德关系式, 使其仅出现 $F_\sigma(z)$, 从而使 $z \sim 0$ 处的收敛变得迅速。拉马努金的结果激发了以下问题: 是否可以效仿他的步骤, 根据共形数据推导出一个新的、快速收敛的级数, 用于展开 LCFT 相关函数? 我们对这个问题的回答是肯定的。受拉马努金公式推导过程的启发, 关键思想是采用最近推导出的弦论色散关系 [19], 仅通过相关函数的对数分支切割 (logarithmic branch cut) 的不连续性来表达完整的 LCFT 相关函数。与完整相关函数不同, 这种不连续性承认在 $z, \bar{z} = 0$ 附近有一个快速收敛的共形块展开, 为重构整个相关函数提供了一个有效的基。值得注意的是, 在这个新基中, (5) 中的勒让德关

系收敛得极其快；事实上，它完全由恒等算符 (identity operator) 的贡献所重现。我们强调，这种惊人的简化仅在应用了 L 算符之后才会出现——如果不将勒让德关系转化为 LCFT 语言，这种结构将保持隐藏。这一结果并不取决于 LCFT 的具体细节，而仅取决于相关函数具有对数奇点这一事实，这暗示了 LCFT 的一个普适特征。

拉马努金 1/π 公式背后的数学：让我们简要回顾一下拉马努金公式的推导过程，因为它非常有启发性。如前所述，直接将 $F_\sigma(z)$ 和 $F_\sigma(1 - z)$ 的级数表示代入勒让德关系式不会得到 $1/\pi$ 的快速收敛公式。由此产生的任何级数首先是双重求和，其次收敛非常缓慢，因为一个求和需要 $z \sim 0$ ，而另一个需要 $z \sim 1$ 才能快速收敛。因此，第一步是改写勒让德关系，使其仅出现 $F_\sigma(z)$ 。这是通过使用所谓的模方程来实现的。根据这些方程，对于任何有理数 n ，只要 z 和 \bar{z} 满足“模”条件 $z = f_n(\bar{z})$ [18, 20]，以下关系式就成立：

$$F_\sigma(1 - z)F_\sigma(\bar{z}) = nF_\sigma(z)F_\sigma(1 - \bar{z}) \quad (6)$$

这里， n 被称为模方程的阶 (degree)，我们只考虑 $n \in \mathbb{N}$ 。 $n = 1$ 的情况是平凡的，模条件就是 $z = \bar{z}$ 。作为一个非平凡的例子， $n = 3$ 的模条件是：

$$(z\bar{z})^{1/4} + [(1 - z)(1 - \bar{z})]^{1/4} = 1 \quad (7)$$

接下来，我们解出定义为 $z_0 = f_n(1 - z_0)$ 的奇异值 z_0 的模条件。由 (6)，我们得到：

$$\sqrt{n}F_{\frac{1}{2}}(z_0) = F_{\frac{1}{2}}(1 - z_0) \quad (8)$$

将此代入勒让德关系，左端 (LHS) 变为：

$$\frac{z_0(1 - z_0)}{2} \left(\sqrt{n} \partial_z F_\sigma^2(z) \Big|_{z=z_0} + \frac{1}{\sqrt{n}} \partial_z F_\sigma^2(z) \Big|_{z=1-z_0} \right) \quad (9)$$

工作尚未完成，因为这两项仍分别在 z_0 和 $1 - z_0$ 处计算。再次使用 (6)，经过一些冗长的代数运算 [20]，我们得到最终形式：

$$\sqrt{n}z_0(1 - z_0) \left(\frac{d}{dz} - \frac{dM_n(\bar{z})}{d\bar{z}} \Big|_{\bar{z}=1-z_0} \right) F_{\frac{1}{2}}(z)^2 \Big|_{z=z_0} = \frac{1}{\pi} \quad (10)$$

其中我们将乘子 $M_n(\bar{z})$ 定义为 $M_n^2(\bar{z}) = \bar{z}(1 - \bar{z})/(z(1 - z))dz/d\bar{z}$ ，其中 $z = f_n(\bar{z})$ 。对于 $n = 1$ ， $M_1(\bar{z}) = 1$ 。对于 $n = 3$ ，可以算出 $dM_3/d\bar{z} \Big|_{\bar{z}=1-z_0} = -4/\sqrt{3}$ ，其中 $z_0 = (2 - \sqrt{3})/4 \approx 0.067$ 。在这一点上，我们可以通过代入 $F_\sigma(z)$ 的级数表示来获得 $1/\pi$ 的快速收敛公式，但它仍然是一个双重求和。为了得到出现在拉马努金公式中的单重求和，我们使用如 (例如 [12]) 所示的克劳森恒等式 (Clausen's identity)：

$$F_\sigma(z)^2 = {}_3F_2(\sigma, 1 - \sigma, \frac{1}{2}; 1, 1; 4z(1 - z)) \quad (11)$$

对于 $z < 1/2$ 。将此代入方程 (10) 可以得到所有 n 的类拉马努金公式。例如，对于 $n = 3$ ，我们得到：

$$\frac{4}{\pi} = \sum_{k=0}^{\infty} (6k+1) \left(\frac{1}{4}\right)^k \frac{\left(\frac{1}{2}\right)_k^3}{k!^3} \quad (12)$$

这是拉马努金提出的最初 17 个公式之一。他最快的公式源自 $n = 58$ 。通常，随着 n 的增加，收敛性会提高，因为奇异值 z_0 沿直线 $\bar{z} = 1 - z$ 趋向于 0。我们在图 1 中展示了这一点。

【高三解读】

这篇论文展示了高阶物理学（共形场论，LCFT）与百年前拉马努金纯数学研究之间的奇妙联系。对于高三学生，我们可以从以下几个维度深度解读这段内容：

- 级数与收敛速度的概念：** 在高中数学中，我们学习数列和无穷级数。拉马努金公式的迷人之处在于其收敛速度。一个收敛极慢的级数可能需要计算成千上万项才能精确到小数点后几位，而拉马努金发现的级数（如公式 12）每一项都能提供极大的精度增量。这体现了数学中“效率”的重要性。
- 对称性的应用：** 文中提到的“模方程”（公式 6、7）本质上是在寻找某种数学对称性。通过在 z 和 $1 - z$ 之间建立联系，拉马努金能够将复杂的双重求和问题降维为简单的单重求和。这种“利用对称性化繁为简”是解决数学难题的核心思想。
- 特殊恒等式的桥梁作用：** 公式 (11) 的克劳森恒等式（Clausen's identity）在此处起到了关键的转换作用。它将一个函数的平方转化为另一种更易于展开的形式（超几何级数）。这告诉我们，在处理复杂问题时，掌握一些强大的“工具性公式”往往能实现质的突破。
- 跨学科的普适性：** 文中最令人惊讶的结论是，关于 π 的纯数学公式竟然能从物理学的弦论色散关系中推导出来。这体现了数学作为宇宙语言的特性：LCFT 中的对数奇点这一物理特性，竟然与拉马努金百年前关于椭圆积分的研究殊途同归。
- 解题思维启发：** 当我们面对一个复杂的表达式（如勒让德关系）且直接代入法失效时，应该像拉马努金那样，思考是否可以通过改写（Recast）或者寻找特殊的性质点（如奇异值 z_0 ）来重新构造问题。这种灵活变通的数学思维是备考压轴题时最需要的素质。

第 3 页

【原文翻译】

图1：对应于 $n = 1, 2, 3, 7$ (由右至左) 模方程解在 z, \bar{z} 平面上的切片。红色叉号表示奇异值 z_0 。

拉马努金公式的推导提供了宝贵的见解，有两个关键教训。首先，它证明了勒让德关系可以通过一系列高度非平凡的操作被转化为一种形式——涉及绕 $z = 0$ 的幂级数展开，从而导致极快的收敛。其次，模方程阶数参数 n 的出现引入了一系列此类公式。每个 n 值都会产生一个独特的 $1/\pi$ 级数表示，且收敛速度随着 n 的增加而显著提高。鉴于对数共形场论 (LCFT) 的联系，我们该如何利用这些教训来更多地了解 LCFT 相关子？或者从不同的角度看，我们能否为物理学中存在这一组单参数快速收敛的类拉马努金公式提供物理学解释？在接下来的章节中，我们将回答这些问题。

CFT 勒让德关系：在文献 (5) 中，我们利用研究得比较透彻的 $c = -2$ LCFT 中的扭转算符四点相关子重构了勒让德关系。从 CFT 的角度来看，展开相关子的自然基底是（全局）共形块，由理论中初级算符的标度维数和自旋标记。正如 [21] 中所解释的，在 LCFT 的情况下，共形块的正确版本还涉及对通常块的导数，导致以下“对数”共形块分解：

$$G(z, \bar{z}) = (z\bar{z})^{\sigma(1-\sigma)} \sum_{\Delta, \ell} (c_{\Delta, \ell}^{(1)} + c_{\Delta, \ell}^{(2)} \partial_{\Delta}) g_{\Delta, \ell}(z, \bar{z}) \quad (13)$$

$g_{\Delta, \ell}(z, \bar{z})$ 是给定的二维共形块：

$$g_{\Delta, \ell}(z, \bar{z}) = k_{\Delta+\ell}(z) k_{\Delta-\ell}(\bar{z}) + k_{\Delta+\ell}(\bar{z}) k_{\Delta-\ell}(z),$$

$$k_{\beta}(x) = x^{\frac{\beta}{2}} {}_2F_1\left(\frac{\beta}{2}, \frac{\beta}{2}, \beta, x\right). \quad (14)$$

我们的目标是写下 CFT 勒让德关系的共形块展开。请注意，勒让德关系只涉及 $G_{L/R}(z, \bar{z})$ ，而不是完整相关子 $G(z, \bar{z})$ 。然而，我们可以通过完整相关子的对数部分 $G_{log}(z, \bar{z})$ ，或者等效地通过跨对数支割线的相关子间断点来表达 $G_{L/R}(z, \bar{z})$ ，因为 $G_{disc}(z, \bar{z}) = \pi G_{log}(z, \bar{z})$ 。我们有：

$$G_{log}(z, \bar{z}) = -\frac{\sin(\pi\sigma)}{\pi} \kappa(z, \bar{z}) F_{\sigma}(z) F_{\sigma}(\bar{z})$$

$$= -\frac{\sin(\pi\sigma)}{\pi} G_L(z, 1 - \bar{z}). \quad (15)$$

现在，很容易看到间断点的块展开只涉及 $c_{\Delta, \ell}^{(2)}$ 数据：

$$G_{log}(z, \bar{z}) = (z\bar{z})^{\sigma(1-\sigma)} \sum_{\Delta, \ell} \frac{c_{\Delta, \ell}^{(2)}}{2} g_{\Delta, \ell}(z, \bar{z}). \quad (16)$$

我们将把与 $c_{\Delta, \ell}^{(2)}$ 数据相关的算符称为对数算符。利用 $g_{\Delta, \ell}(z, \bar{z}) \sim_{z, \bar{z} \rightarrow 0} z^{\frac{\Delta-\ell}{2}} \bar{z}^{\frac{\Delta+\ell}{2}}$ ，我们匹配两侧的幂次来提取谱和 OPE 系数。该谱给出为 $(\Delta, \ell) = (\ell + 2n, \ell)$, $\ell, n \in \mathbb{Z}^{\geq 0}$ 。所有 OPE 系数 $c_{\Delta, \ell}^{(2)}$ 都隐含一个因子 $\frac{\sin(\pi\sigma)}{\pi}$ 。因此，为了清晰起见，我们定义 $\hat{c}_{\Delta, \ell}^{(2)} = -\frac{\sin(\pi\sigma)}{\pi} c_{\Delta, \ell}^{(2)}$ 。在这种归一化下，系数 $\hat{c}_{0,0}^{(2)} = 1$ 。

利用 (15) 和 (5)，CFT 勒让德关系的共形块分解变为：

$$\frac{\sin(\pi\sigma)}{\pi} = |1-z|^{-2\sigma(1-\sigma)} \sum_{\Delta, \ell} \frac{\hat{c}_{\Delta, \ell}^{(2)}}{2} L[g_{\Delta, \ell}(z, 1-\bar{z})] \Big|_{\bar{z}=z} \quad (17)$$

上述关系为任何 σ 和 z 提供了新的 $1/\pi$ 公式，其中当 $\sigma = \frac{1}{2}$ 且 $z = \bar{z} = 1/2$ 时获得的收敛最快，其形式如下：

$$\frac{1}{\pi} \approx \frac{a_0 + a_1 \log 2 + a_2 \log^2 2}{\sqrt{2}} \quad (18)$$

其中 a_0, a_1, a_2 是有理数，且我们在共形块展开中保留了有限多个算符。例如，在 (18) 中保留领先的 8 个算符，可以达到 6 位小数的精度，这实际上与 (12) 相当。

虽然源自 (17) 的公式本身很新颖且有趣，但它们收敛得并不快。这是因为 (16) 要求 $g_{\Delta, \ell}(z, \bar{z})$ 中的 $z, \bar{z} \ll 1$ 才能快速收敛，而勒让德关系涉及的是 $g_{\Delta, \ell}(z, 1-\bar{z})$ 。这本质上与拉马努金面临并解决的相同问题：通过在 (10) 中用 $F_\sigma(z)$ 表示勒让德关系来解决。我们可以简单地使用 (16) 在共形块中展开 (10)，并获得快速收敛的级数，尤其是在 n 较大时。例如，仅保留对数身份算符，对于 $n = 58$ 可以得到 18 位小数精度的新 π 公式。

【高三解读】

这部分内容涉及高等数学、量子场论以及数论的交叉领域，对于高三学生来说，理解其背后的数学逻辑和科学探究方法比理解具体公式更重要。以下是深度解读：

1. 数学美的统一性：拉马努金公式与物理学

- **背景知识：**拉马努金 (Ramanujan) 是印度数学奇才，他留下了许多关于圆周率 π 的无穷级数公式，这些公式往往收敛极快。高三学生在学习数列时，通常只接触等

差、等比数列，而这里展示的是通过物理理论（共形场论）来推导和解释这些纯数学发现。

- **学科关联：**这展示了“跨学科”的力量。在物理学的 LCFT 模型中，看似无关的物理相关子（Correlator）居然可以和数学中的勒让德关系（Legendre Relation）对应起来。

2. 核心数学思想：幂级数展开与收敛性

- **核心概念：**公式 (13) 和 (16) 本质上是**级数求和**。在数学建模中，我们经常用一个无穷级数来逼近一个复杂的函数。
- **收敛速度：**文中提到“绕 $z = 0$ 的幂级数展开导致极快收敛”。对于高三学生，这可以类比为二项式定理的展开或几何级数。当 $|x|$ 很小时， x^n 会随着 n 的增大迅速变小。这里的物理背景是为了寻找一种特定的参数（如 $n = 58$ ），使得级数项迅速消失，从而用极少的项数计算出高精度的 π 。

3. 特殊函数：超几何函数 ${}_2F_1$

- **知识点延伸：**公式 (14) 中出现的 ${}_2F_1$ 是超几何函数。高三学生目前学习的是基本的初等函数（幂、指、对、三角），而超几何函数是它们的更高级形式。在解决复杂的物理或几何问题（如计算椭圆周长）时，这类函数是不可或缺的工具。

4. 解题技巧：近似与误差控制

- **应用场景：**公式 (18) 给出了 $1/\pi$ 的近似形式。在物理学中，我们往往无法得到绝对精确的解，而是寻求“足够精确”的解。保留 8 个项就能达到 6 位精度，这体现了**数值计算**中的近似思想，也是高考大纲中“数据处理能力”的一种体现。

5. 思维启示：对称性与结构

- **解读：**共形块分解（Conformal block decomposition）本质上是在利用系统的**对称性**。就像我们在解决物理力学题时会利用动量守恒或能量守恒这种**对称结构**一样，量子场论利用共形对称性将复杂的相关函数分解为简单的、可计算的部分。

总结：这一页面展示了如何利用顶尖物理理论来解密经典的数学难题。对于高三学生，它揭示了科学探索的真谛：复杂的现象（如 π 的精确值）背后往往隐藏着深刻的对称性结构（如 LCFT）。

第 4 页

【原文翻译】

(36)) 而 $n = 1024$ (可以通过使用递归关系 [20] 计算得出) 给出了 84 位小数。我们在补充材料 [18] 中提供了更多细节。然而，我们的目标是仅通过 CFT 方法获得 Legendre 关系的快速收敛基，因此，还提供了一个物理学解释，说明由 n 参数化的 Ramanujan 类公式的存在。这是我们接下来要讨论的内容。

LCFTs 的一种新型色散表示：与完整的相关函数不同，相

关函数在 (15) 中给出的对数支割线上的不连续性仅涉及 $F_\sigma(z)$ 和 $F_\sigma(\bar{z})$ ，因此具有快速收敛的共形块展开。这直接引导我们走向完善的 CFT 相关函数色散关系，它允许我们仅从其不连续性中重建完整的 CFT 相关函数。特别是，我们考虑了最近在 [19, 23, 24] 中提出并推导出的所谓弦/参数色散关系，因为它自然地导致了一个参数化的 CFT 相关函数色散表示族。

弦色散关系 (*The Stringy Dispersion Relation*)：如果一个函数 $F(x, y)$ 是 $x \leftrightarrow y$ 对称的，并且满足对于 $y \in D$ ， $\lim_{x \rightarrow \infty} |F(x, y)| \rightarrow 0$ ，那么对于所有 $-\lambda \in D$ ，[23–29]：

$$F(x, y) = \frac{1}{\pi} \int_C d\xi H^{(\lambda)}(\xi, x, y) F_{disc}^{(x)}(\xi, \eta^{(\lambda)}(\xi, x, y))$$

(19) 其中积分遍及 $F(x, y)$ 在 x 中可能具有的所有支割线，且 $F_{disc}^{(x)}(x, y)$ 是该函数跨过支割线的不连续性。当支割线位于实轴上时，它简单地等于 $\lim_{\epsilon \rightarrow 0} \frac{F(x+i\epsilon, y) - F(x-i\epsilon, y)}{2i}$ ，对于实解析函数，这等于 $Im F(x, y)$ 。我们还定义了：

$$H^{(\lambda)}(\xi, x, y) = \left(\frac{1}{\xi - x} + \frac{1}{\xi - y} - \frac{1}{\xi + \lambda} \right),$$

(20)

$$\eta^{(\lambda)}(\xi, x, y) = \frac{(x + \lambda)(y + \lambda)}{\xi + \lambda} - \lambda.$$

该表示与参数 λ 无关——参见 [19] 中的巧妙证明以及 [18] 中的数值检验。现在，让我们将上述色散关系应用到 LCFT 相关函数。我们首先定义 $F_L(z, \bar{z}) = \kappa(z, \bar{z})^{-1} G_L(z, \bar{z}) = F_\sigma(z) F_\sigma(1 - \bar{z})$ 。现在， $F_L(z, \bar{z})$ 在 $z \leftrightarrow 1 - \bar{z}$ 变换下是对称的，并且在任何 σ [48] 的大 z 极限下趋于零。因此，它可以利用上述色散关系表示为：

$$F_L(z, \bar{z}) = \int_1^\infty d\xi H^{(\lambda)}(\xi, z, 1 - \bar{z}) F_{log}(1 - \xi, \eta^{(\lambda)}(\xi, z, 1 - \bar{z})).$$

(21) 这对于 $Re(\lambda) > -1$ 是收敛的。我们利用了 $F_L(z, \bar{z})$ 跨过 $z \in (1, \infty)$ 支割线的不连续性由 $\pi F_{log}(z, \bar{z}) = \sin(\pi\sigma) F_\sigma(z) F_\sigma(\bar{z})$ 给出这一事实，使用的是 (15)。现在我们可以仅通过相关函数的不连续性来表达 Legendre 关系：

$$\frac{\sin(\pi\sigma)}{\pi} = \int_1^\infty d\xi L [H^{(\lambda)}(\xi, z, 1 - \bar{z}) F_{log}(1 - \xi, \eta^{(\lambda)}(\xi, z, 1 - \bar{z}))]_{\bar{z}=z}$$

(22) 解析地执行这个积分通常很困难，但在大 λ 极限下可以进行简单的解析验证，因为可以证明被积函数如下所示是一个全导数：

$$\frac{\sin \pi\sigma}{\pi} L \int_1^\infty d\xi H^{(\infty)}(\xi, z, w_z) F_\sigma(1 - \xi) F_\sigma(z + w_z - \xi) \Big|_{\bar{z}=z}$$

\n

$$= -z(1-z) \frac{\sin \pi \sigma}{\pi} \int_1^\infty d\xi \partial_\xi [H^{(\infty)}(\xi, z, w_z) F_\sigma(1-\xi)^2],$$

\n

$$= \frac{\sin \pi \sigma}{\pi}.$$

(23)\n\n其中 $w_z = 1 - \bar{z}$, 最后一行的结论是因为全部贡献都来自下限。\\n\\n下一步是将不连续性的下列共形块分解 (参见 (16)) 代入 (21) 中。这导出了由 λ [49] 参数化的 LCFT 相关函数展开的一个新基族。\\n\\n

$$F_{log}(z, \bar{z}) = |1-z|^{-\sigma(1-\sigma)} \sum_{\Delta, \ell} \frac{c_{\Delta, \ell}^{(2)}}{2} g_{\Delta, \ell}(z, 1-\bar{z})$$

(24)\\n\\n虽然展开与 λ 无关, 但当 λ 取较大值时, 收敛性显著提高。事实上, 正如我们在图 2 的热图中演示的那样, 它明显优于通常的共形块分解, 特别是在小 \bar{z} 区域。\\n\\n图 2: 热图显示了块之和 (

Delta = 2*n* +

ell, *n*

leq2,

ell

leq4) 与精确答案的比值。左图: CBD, 右图: 色散表示 (

lambda = 500)。\\n\\n最后, 将 (24) 代入 (22) 中, 可以得到由共形数据表示的 Legendre 关系的展开族, 由 λ 参数化。当 λ 取较大值时, 这些展开式是快速收敛的。为了说明这一点, 请注意它们涉及如下形式的共形块...

【高三解读】

本文探讨的是共形场论 (CFT) 中的高级数学物理方法。虽然这些内容属于理论物理的前沿, 但我们可以用高三数学和物理的思维来剖析其中的核心逻辑: \\n\\n1. **色散关系 (Dispersion Relations) 与函数重构:** \\n在高中物理学习光学时, 色散是指折射率随频率变化。而在高等数学中, 色散关系体现了“因果律”。其核心思想是: **如果你知道一个函数在边界上 (或由于多值性产生的“支割线”上) 的跳变 (不连续性), 你就可以通过积分求出该函数在整个定义域内的值。**这类似于高中学的柯西积分公式, 反映了复变函数的整体性质。\\n\\n2. **参数**

***lambda* 的调节作用:** \\n公式 (19) 到 (21) 引入了一个自由参数

lambda。在物理模型中, **我们经常通过引入一个额外的参数来观察系统**。这里的精妙之处在于, 最终结果虽然理论上与

lambda 无关 (等式成立), 但在实际数值计算时, 选择一个特定的

lambda (如文中提到的大

lambda 极限) 会极大地加快计算效率 (收敛速度)。这启发我们在解题时, 有时通过引入辅助参数或在特殊极限下考虑问题, 能更快发现规律。\\n\\n3. **级数展开与近似 (Conformal**

Block Decomposition): \n公式 (24) 是一种特殊的函数展开。高三学生熟悉泰勒级数 (Taylor series)，即将复杂函数展开为幂级数。共形块展开是泰勒展开的高级物理版。图 2 的热图展示了这种展开的“精确度”——颜色越接近特定数值 (通常是 1)，说明这种近似方法与真实解越吻合。这体现了物理学中“通过部分项之和近似整体”的思想。\\n\\n4. **全导数与积分下限**: \n公式 (23) 的推导中使用了牛顿-莱布尼茨公式的思想。作者指出积分是一个“全导数” (total derivative)，这意味着积分结果只取决于积分上下限的值。这是微积分基本定理的直接应用，也是物理公式简化最常用的技巧之一。\\n\\n解题技巧总结: \n- **对称性分析**: 文中多次提到 x

$\leftarrow\rightarrow$ 对称，在处理数学复杂表达式时，先观察变量的对称性可以极大简化运算。

\n- 极限思维: 通过考察

λ

to

∞ 的极限情况来验证公式的正确性，这是物理学验证理论一致性的重要手段。**\n- 可视化验证**: 利用热图直观判断误差分布，是现代科学研究中心处理海量数据和复杂计算的标准做法。

第 5 页

【原文翻译】

5

$g_{\Delta,\ell}(1-\xi, \eta^{(\lambda)}(\xi, z, 1-\bar{z}))$ 。为了实现快速收敛，我们需要共形块 (blocks) 的变量足够小。在大 λ 极限下， $\eta^{(\lambda)}(\xi, z, 1-\bar{z}) \sim 1 + z - \bar{z} - \xi$ ，并且由于勒让德 (Legendre) 关系要求 $\bar{z} = z$ ，两个变量都趋于 $1 - \xi$ 。现在我们只需要积分由 $\xi = 1$ 主导，这确实发生了，因为内核 $H^{(\lambda)}(\xi, z, 1-\bar{z})$ 在 $\xi \sim 1$ 附近达到峰值，且当 $\bar{z} \sim 0$ 时更为明显。因此，通过纯共形场论 (CFT) 方法，我们获得了一系列勒让德关系的快速收敛展开式，就像我们之前回顾的拉马努金 (Ramanujan) $1/\pi$ 公式的推导一样。

事实上，相当惊人的是，收敛性的改善如此剧烈，以至于在严格的 $\lambda \rightarrow \infty$ 极限下，对勒让德关系的全部贡献仅来自于“对数恒等算符” (log-identity operator) [50]。这可以通过解析证明。将式 (16) 中的共形块展开代入式 (23) 的第二行，我们得到：

$$z(1-z) \int_1^\infty d\xi \partial_\xi \left[H^{(\infty)}(\xi, z, w_z) \left((1-\xi)^{-2\sigma(1-\sigma)} \sum_{\Delta,\ell} \frac{c_{\Delta,\ell}^{(2)}}{2} g_{\Delta,\ell}(1-\xi, 1-\xi) \right) \right]. \quad (25)$$

这是一个全导数 (total derivative)，只有下限 $\xi \rightarrow 1$ 有贡献。由于 $g_{\Delta,\ell}(1-\xi, 1-\xi) \underset{\xi \rightarrow 1}{\sim} (1-\xi)^{\Delta+\ell}$ ，全部贡献来自 $\Delta = \ell = 0$ 。我们还在图 3 中针对 $\sigma = 1/2$ 进行了数值演示。

[图 3 标题] 图 3：图中展示了当 λ 增加时， $\sigma = 1/2$ 且 z 取不同值时，对数恒等算符在 $1/\pi$ 色散块展开中的贡献。我们观察到在大 λ 时，对数恒等算符捕获了完整的勒让德关系，给出了 $1/\pi$ 。

这一卓越的结果还使我们能够获得对对数共形场论 (LCFT) 处理模方程 (modular equations) 的一个近似 (随着 n 的增加而变得越来越精确)，正如附录中所讨论的。此外，允许我们用共形块表示关联函数本身的不连续性的特征正是分支切割 (branch cut) 的对数性质。因此，上述结果很可能是 LCFT 关联函数的一个普遍特征。我们强调，只有当关联函数通过弦散射色散关系表达，然后由 L 算符作用时，它才会出现——这些操作是受拉马努金公式启发而进行的。

讨论：我们已经看到 CFT 的考量如何为拉马努金公式提供新的视角，进而使我们能够利用从拉马努金公式中学到的经验，引导出 LCFT 关联函数的新的、快速收敛的展开。利用这种联系来建立 LCFT 的自举 (bootstrap) 程序将是有趣的。事实上，鉴于对数恒等算符在大 λ 极限下重现了完整的 CFT 勒让德关系，我们预期 LCFT 自举能完全确定完整的 LCFT 关联函数。

此外，在附录中，我们展示了具有对数恒等算符的色散表示给出了模方程的一个非常好的近似。上面回顾的模方程和奇异值是否带有超出其数学角色的更深层物理意义？我们想指出，在 Saleur 的工作 [3] 中， G_L 和 G_R 可以被认为是水平和垂直拉伸的聚合物构型。模方程可以重新解释为垂直构型比水平构型多出 n 倍概率的因子。因此，在 $n \gg 1$ 极限下，我们有一个手性聚合物构型。在附录中，我们还给出了 $\sigma = 1/2$ 勒让德关系在薄膜范式 (membrane paradigm) 方面的全息解释。我们希望这些观察将激励对这些非凡的数学-物理联系的进一步研究。

致谢

我们感谢 B. Ananthanarayan, Agnese Bissi, Justin David, Dehashis Ghoshal, Rajesh Gopakumar, Srijan Kumar, Rob Myers, Sridip Pal, Prashanth Raman, Arnab Saha, Chaoming Song, Spenta Wadia, Masaaki Yoshida 和 Xinan Zhou 进行的有益讨论。我们也感谢 Gaurav Bhatnagar 和 Kaushal Verma 提出激发了这项研究的相关问题。AS 感谢 Perimeter Institute 的支持和款待。AS 鸣谢来自 SERB 核心资助 CRG/2021/000873 以及 Quantum Horizons Alberta 讲席教授职位的支持。

附录

关于 $c = -2$ LCFT 的更多内容：我们在这项工作中关注的 LCFT 是研究透彻的 $c = -2$ 辛费米子 (symplectic fermion) 模型 [3, 30] [51]。该模型由一个二分量费米子场 χ^α 组成，其模式 $\chi_n^\alpha, n \in \mathbb{Z}$ 生成一个手性代数。具有 $c = -2$ 的维拉斯罗 (Virasoro) 代数包含在这个代数中。

【高三解读】

这份学术文本虽然探讨的是理论物理中最前沿的对数共形场论 (LCFT) 与传奇数学家拉马努金公式之间的联系，但其核心逻辑对于高三学生，尤其是备考竞赛或对高等数学感兴趣的同 学，具有极佳的启发意义。

1. 核心知识点解析：

- **极限的思想与近似 (The Power of Limits)**：文章多次提到 $\lambda \rightarrow \infty$ 和 $n \gg 1$ 。在高三数学中，我们也经常处理类似的“主导项”问题。例如在求数列极限时，只有阶数最高的项起决定作用。这里物理学家发现，在某种极限下，一个极其复杂的求和式（式 25）可以被一个简单的“对数恒等算符”完全替代。这告诉我们：在处理极端情况时，复杂系统往往 会简化。
- **微积分的应用 (Integration and Total Derivative)**：式 (25) 提到了“全导数”(Total Derivative)。在高三微积分初步中，如果一个被积函数可以写成某个函数的导数 $\int f'(x)dx$ ，那么结果只取决于端点值 $f(b) - f(a)$ 。文中正是利用这一性质，将复杂的积分简化为仅受 $\xi \rightarrow 1$ 这一边界影响的计算。这是“牛顿-莱布尼茨公式”在高级物理研究中的直接体现。
- **物理与数学的交叉 (Interdisciplinary Links)**：文中将纯数学的“模方程”与物理中的“聚合物构型”联系起来。这种跨学科的视角是近年来高考命题（如跨学科综合题）强调的方向，旨在考查学生迁移知识的能力。

2. 解题技巧与思维模型：

- **抓主要矛盾**：当公式中出现 \sum （累加）时，物理学家通常寻找谁是“贡献最大”的那一项（如文中的 $\Delta = \ell = 0$ ）。在做选择题或压轴题时，如果能判断出某一项在极限下占主导，可以大大简化计算。
- **图像辅助理解**：观察图 3，随着参数 λ 增大，曲线迅速收敛并稳定在某个值 $(1/\pi)$ 。这教导我们在面对抽象公式时，尝试通过函数图象的变化趋势来直观感知结论的正确性。

3. 常见陷阱警示：

- **收敛性的误区**：并不是所有的级数或展开都能随便使用。文中强调“为了快速收敛，我们需要自变量足够小”。在做数学推导（如等比数列求和或泰勒展开初步）时，一定要注意成立的条件和范围，否则会得出荒谬的结论。

4. 学科背景拓宽：

- **拉马努金 (Ramanujan)**：这位天才数学家留下了大量看似超自然、无来源的公式。文中的研究表明，这些数学珍宝其实蕴含在宇宙最基础的对称性——共形场论之中。这激励同

学们在学习中不仅要“知其然”，更要对数学背后的美感和统一性保持好奇心。

第 6 页

【原文翻译】

具有唯一的不可约最高权重表示，其最高权重态为真空态 Ω 。这个表示可以扩展为可约但不可分解的表示，除了真空态 Ω 之外，还包含另一个状态 ω 。状态 ω 和 Ω 导致了 L_0 的二维若尔当块 (Jordan block) 结构：

$$L_0\Omega = 0, \quad L_0\omega = \Omega \quad (26)$$

正是 L_0 算符的这种不可对角化性，导致了对数共形场论 (LCFTs) 中的对数相关函数。

辛解析费米子模型还具有全局 $SL(2, \mathbb{C})$ 对称性，这允许我们通过对循环子群 C_N 进行商运算来引入扭曲态 (twisted states)。扭曲场 μ_σ 由以下公式定义：

$$\chi^\alpha(e^{2\pi i} x)\mu_\sigma(0) \sim e^{2\pi i \sigma} \chi^\alpha(x)\mu_\sigma(0) \quad (27)$$

其中 σ 是扭曲因子。对于 C_N 扭曲模型，最高权重扭曲态具有 $\sigma = \frac{k}{N}, k = 1, \dots, N-1$ 以及共形权重 $h = \frac{\sigma(1-\sigma)}{2}$ 。它们的算符积展开 (OPE) 特征包含对数双重态 (Ω, ω) ：

$$x^{\sigma(1-\sigma)} \mu(x)\mu(0) \sim \omega + \Omega \log x + \dots \quad (28)$$

C_2 扭曲模型已被证明等价于著名的三元组模型 [30]，它是对由三元组场 $W^a(z), a = 1, 2, 3$ 构成的维拉索罗 (Virasoro) $(1, 2)$ 代数的扩展。一般来说，所有的维拉索罗 $(1, q)$ 模型都被证明可以扩展到三元组代数，并导致有理对数共形场论 [14, 32]。虽然我们在本研究中考虑 $q = 2, c = -2$ 的情况，但与其他维拉索罗 $(1, q)$ 模型的拉马努金公式的联系也存在。我们在 [18] 中解释了与具有其他中心荷 (central charges) 的对数共形场论的联系。

从 (28) 式可以明显看出，扭曲场的相关函数具有对数奇点。特别地，(4) 中考虑的相关函数是两个扭曲场和两个反扭曲场 (扭曲因子为 $\sigma^* = 1 - \sigma$) 的四点相关函数：

$$G(z, \bar{z}) = \langle \mu_\sigma(0)\mu_{\sigma^*}(z, \bar{z})\mu_\sigma(1)\mu_{\sigma^*}(\infty) \rangle \quad (29)$$

请注意，虽然扭曲和反扭曲场是不同的，但它们具有相同的共形权重。 $\sigma = \frac{1}{2}$ 是一个例外，它导致了具有 $h = -\frac{1}{8}$ 的相同标量原场的相关函数。

通过全息原理对勒让德关系的物理解释：考虑渐近 AdS_{d+1} 史瓦西黑膜背景下的标量场 φ ：

$$ds^2 = \frac{R^2}{z^2} [-(1-z^d)dt^2 + \frac{dz^2}{1-z^d} + d\vec{x}^2] \quad (30)$$

其中 R 是 AdS 半径, z 是径向体坐标 [11]。我们固定标量场的质量, 使其满足 Breitenlohner-Freedman 边界条件, 即 $m^2 = -d^2/(4R^2)$ 。事实证明, 在这些条件下, 标量场的体-体格林函数 (bulk-bulk Green's function) 恰好具有对数共形场论相关函数的结构。更准确地, 考虑在 \vec{x}, t 方向上的体-体格林函数的傅里叶模式, 记为 $\hat{G}(z, z', \omega, \vec{k})$ 。零模 $\hat{G}(z, z') = \hat{G}(z, z', \omega, \vec{k})|_{\omega=\vec{k}=0}$ 具有特别的物理意义, 且满足:

$$\partial_z \left(\frac{R^{d-1}}{z^{d-1}} (1-z^d) \partial_z G(z, z') \right) - \frac{R^{d+1}}{z^{d+1}} m^2 G(z, z') = \delta(z - z') \quad (31)$$

该微分方程齐次部分的两个线性无关解由下式给出:

$$g_{inf}(z) = z^{1/2} F_{\frac{1}{2}}(z), \quad g_{hor}(z) = z^{1/2} F_{\frac{1}{2}}(1-z) \quad (32)$$

它们之所以这样命名, 是因为 $g_{inf}(z)$ 在 $z = 0$ 的 AdS 边界处是正则的 (在 $z = 1$ 处有对数奇点), 而 $g_{hor}(z)$ 在 $z = 1$ 的黑膜视界处是正则的 (在 $z = 0$ 处有对数奇点)。由此, $G(z, z')$ 可以计算并表示为:

$$G(z, z') = \begin{cases} -\frac{\pi}{dR^{d-1}} g_{inf}(z) g_{hor}(z'), & z' > z \\ -\frac{\pi}{dR^{d-1}} g_{hor}(z) g_{inf}(z'), & z < z' \end{cases} \quad (33)$$

因此, 我们看到体-体格林函数恰好具有对数共形场论相关函数的结构。

在此背景下的勒让德关系 (Legendre relation) 仅仅是微分方程齐次部分的朗斯基行列式 (Wronskian):

$$W(z) = g_{inf}(z) \partial_z g_{hor}(z) - g_{hor}(z) \partial_z g_{inf}(z) = -\frac{1}{\pi} \frac{1}{1-z} \quad (34)$$

可以验证, 上述方程与 (2) 或 (5) 中 $\sigma = 1/2$ 时的勒让德关系完全相同。

朗斯基行列式的物理作用和静态磁化率: 连同格林函数方程 (31), 方程 (34) 意味着对对解 $\{g_{inf}, g_{hor}\}$ 而言, 存在径向守恒的辛“通量”。对方程 (31) 在 $z = z'$ 附近积分, 给出了通常的 $\partial_z G$ 跳跃条件, 而代入由朗斯基恒等式 (34) 确定的分段形式 (33), 固定了 G 的总归一化, 使其与评估位置无关。在边界项中, 这种相同的守恒性使得对偶算符在 $\omega = k = 0$ 处的静态磁化率完全由红外 (IR) 决定: 将 AdS 边界附近的红外正则体解展开为 $\phi(z) = z^{d/2} (A \log(\mu z) + B + \dots)$ (其中 A 是源系数, B 是响应), 视界正则性加上常朗斯基行列式固定了比率 B/A , 因此 $\chi(0) = B/A$ 是实数, 并且在径向方向上是方案无关的守恒量。这与地平线输运公式 (膜范式) 背后的“径向高斯定律”逻辑相同, 这里专门用于标量静态极限: 守恒的朗斯基行列式将视界正则性直接转化为边界零频率响应 (参见例如 [33])。

【高三解读】

高三物理与数学深度解析：从经典场到量子前沿

这份研究资料探讨了理论物理中极其深奥的课题——**对数共形场论 (LCFT) 与 全息原理 (Holography)** 的联系。虽然其数学工具超出了高中教学大纲，但其核心逻辑与高三物理中的场论、波动方程以及数学中的微积分思想有着深刻的内在联系。

1. 若尔当块 (Jordan Block) 与能量态的“纠缠”

在高中量子物理初步中，我们习惯于原子的定态：每个能级对应一个独立的波函数。然而，公式 (26) 描述了一种特殊情况。**算符 L_0 (类似于能量算符) 作用于 ω 态时，竟然产生了一个 Ω 态。这意味着这两个态在数学上是“纠缠”在一起的，无法完全分开。这种结构在处理具有能量损耗或临界现象的复杂物理系统时非常关键。**

2. 全息原理 (Holography)：高维与低维的投影

文中提到的 AdS_{d+1} 空间是一种弯曲的时空几何。全息原理是现代物理的核心概念，类比高中知识：

- **全息图 (2D)**：包含了 **3D 物体** 的全部信息。
- **物理意义**：在高维空间（体，Bulk）里的引力物理过程，可以等效地看作是低维边界（边界，Boundary）上的量子场论过程。这就像是通过研究阴影（低维）的变化来推断物体的形状（高维）。

3. 格林函数 (Green's Function)：系统的“响应”逻辑

公式 (31) 看起来很吓人，但它的本质是寻找系统的**响应函数**。在高三物理学习电场或声波时，如果我们给系统一个“点扰动”（用 δ 函数表示），系统会产生什么反应？公式 (33) 描述的就是这种在时空中传播的影响。**它告诉我们，如果在一个地方改变了场，其他地方会如何感应到。**

4. 朗斯基行列式 (Wronskian)：物理守恒的守护者

公式 (34) 提到的朗斯基行列式是微分方程理论中的重要工具。在物理上，它代表了一种**守恒流**。

- **解题技巧**：在处理复杂的二阶常微分方程时，如果我们找到了两个线性无关的解，**朗斯基行列式可以告诉我们这两个解是否覆盖了所有可能性。这类似于我们在向量学习中判断两个向量是否共线。**
- **径向高斯定律**：文中提到这种守恒性类似于“高斯定律”。**回想高中物理的电通量守恒，无论你在一个闭合面包围电荷，总通量不变。这里朗斯基行列式的常数性质，保证了物理信**

号（响应 B 与源 A 的比值）在从空间深处传到边界的过程中是保持不变且可定义的。

5. 常见陷阱与学科背景

- **陷阱：**初学者容易混淆“不可约”和“不可分解”。在 LCFT 中，即便一个系统不能被拆成更小的独立部分，它也可能包含内部结构，这种“不可分解性”正是产生对数奇点的原因。
- **背景知识：**这篇文章涉及的 **史瓦西黑膜 (Schwarzschild black brane)** 是广义相对论中黑洞概念的一种扩展，用于研究高温量子物质的性质，比如夸克-胶子等离子体。

总结：虽然这里的数学推导非常复杂，但其背后的物理直觉——**利用对称性简化问题、利用边界条件确定系统响应、利用守恒量连接不同尺度**——正是物理学研究的一贯逻辑，也是高三学生在解决综合性大题时应具备的核心素养。

第 7 页

【原文翻译】

模方程的阶：体解释

在 AdS 语言中，一个 n 阶模方程最自然地被解读为通向黑膜热圆（副本“雪茄”[34]）的 n 叠欧几里得覆盖。沿着 (6) 中使用的模切片，这种覆盖使得两个径向基底 g_{inf} 和 g_{hor} 在固定代数因子的意义下是等价的，并且在奇异值 z_0 处，它们是对齐的，因此混合通道表达式塌缩为单一通道。从操作上讲，这正是为什么从 (6) 到 (10) 的步骤是可能的，以及为什么所得级数的收敛速度在参数上更快：在 n 叠覆盖上，每一项实际上一次性计入了 n 个绕组。

色散公式的全息含义

方程 (21) 是来自视界割线 (horizon cut) 的静态体-体传播子 (Green function) 的光谱重建。积分变量 $\xi \in [1, \infty)$ 沿着穿过径向超几何解的 $z = 1$ 处的支割线运行。因子 $F(1 - \xi)$ 是 g_{inf} 跨越视界到第二个黎曼页上的解析延拓；这是对 UV 块的割线正比于 IR 块这一事实的反映。核因子将此切割（吸收）数据传播到体点 (z, \bar{z}) 。在这种语言中，视界切割提供了光谱密度（入射条件），而守恒流固定了静态归一化；它们共同再现了物理传播子。

参数 λ 标记了同一传播子的单参数色散表示族：改变 λ 会重新分配被积函数内两个径向通道之间的权重，但保持 G 不变。对方程 (21) 关于 λ 求导表明，内核及其参数的变化结合成一个总 ξ 导数加上超几何块的径向运动方程。由于运动方程，体项消失，而总 ξ 导数仅在切割端点贡献边界项，而这些项也消失了。等效地，在全息语言中，改变 λ 相当于添加一个齐次解，

其系数通过入射（视界）条件和 Wronskian 归一化被固定为零。因此 G 是 λ 无关的： λ 是一个色散“规范”选择，而不是新的物理量。

来自 CFT 的 $1/\pi$ 公式

来自对正文中 $n = 7$ 的 (10) 有贡献的对数单位算符的显式公式非常简单：

$$\frac{1}{\pi} \approx \frac{8\sqrt{7} - 11}{8\sqrt{3\sqrt{7} + 8}} \quad (35)$$

给出 5 位小数精度。 $n = 58$ 的情况给出：

$$\frac{1}{\pi} \approx \frac{1}{2} (13233864246\sqrt{2} - 18715707421 + 87\sqrt{29} (28247341\sqrt{2} - 39947352))^{\frac{1}{2}} \quad (3)$$

这导致 18 位小数的一致。虽然易于解释，但 $n = 1024$ 的公式会导致 84 位小数，对于显示来说过于繁琐。

来自 CFT 的模方程

色散表示提供了一个处理模方程的近似手段。使用 $F_{\frac{1}{2}}(z)F_{\frac{1}{2}}(1-\bar{z})$ 和 $F_{\frac{1}{2}}(\bar{z})F_{\frac{1}{2}}(1-z)$ 的色散表示，仅保留 $\bar{\lambda} \gg 1$ 极限下的对数单位算符，我们可以制作比例的等值线图：

![图 4: $G_L(z, \bar{z})/G_R(z, \bar{z})$ 的比例等值线图。蓝色实线和红色虚线显示了如图 1 所示的 $n = 1, 2, 3, 7$ 时的 $z = f_n(\bar{z})$ 。加粗的红线遮盖了 1.9 (下) 到 2 (上) 以及 2.9 (下) 到 3 (上) 之间的区域。]

显而易见，对数单位算符本身为从模方程获得的 $z = f_n(\bar{z})$ 切片提供了非常好的近似。随着 n 的增加，CFT 近似提供了更精确的解。例如，在 $z = 1/100$ 处，对于 $n = 3, 7, 23$ ，相对于已知解的百分比偏差分别为 10%，0.02%， $10^{-7}\%$ 。

【高三解读】

高三物理与数学深度解读

1. 跨学科的奇迹：圆周率 π 的近似公式

文中给出了几个极其复杂的代数式来近似 π （见公式 35 和 36）。对于高三学生来说，这揭示了数学的一个深层面向：**无限与逼近**。在高中我们学习过刘徽的割圆术或祖冲之的密率（ $\frac{355}{113}$ ），而这里的公式源于现代数学中的“模方程”和物理中的“共形场论（CFT）”。

- **技巧提示：**注意公式 (36) 的结构，它涉及多重根号嵌套。在处理此类复杂根式时，计算精度随项数增加而呈指数级提高，这与我们在数列极限中讨论的收敛速度概念相通。

2. 物理中的“规范”与“对称性”

文中提到参数 λ 是一个“色散规范 (gauge) 选择”，改变它不会改变物理量 G 。这在高中物理中可以类比为**零势能点的选择**：无论你选地面还是无穷远处为零势能点，物体在两点间的重力势能差（物理结果）是不变的。这种“选择自由但不改变结果”的思想是现代物理的核心。

3. 精确度与误差分析

在图 4 下方的文字中提到了百分比偏差 (Percentage deviation)。随着参数 n 的增大，误差从 10% 迅速下降到 $10^{-7}\%$ 。

- **考点链接：**这对应了实验物理中的**相对误差分析**。在处理高考物理实验题时，我们常说“当 $M \gg m$ 时，可以忽略某项”，这本质上就是在寻找某种极限下的近似，正如文中在 $\bar{\lambda} \gg 1$ 时保留主导项一样。

4. 图表的解读能力

图 4 展现了函数比例的等值线分布。对于高三学生，理解这种二维投影图非常重要。不同颜色的线 ($n = 1, 2, 3, 7$) 代表了函数在不同阶数下的行为。要学会观察：当 n 改变时，曲线是如何向某个极限状态靠拢的。这有助于培养空间想象力和对复杂函数图像的直观感知。

总结建议：

这篇文章虽然涉及深奥的弦论与场论背景，但其核心逻辑——**通过复杂的代数结构寻找物理量的精确近似**——是科学的研究的通用方法。遇到看不懂的公式不要怕，关注其**输入（参数 n ）与输出（精度）**的关系，这是培养科学素养的关键。

第 8 页

【原文翻译】

8

二维渗透的场论性质，” J. Stat. Mech. **0512**, P12004 (2005) doi:10.1088/1742-5468/2005/12/P12004 [arXiv:hep-th/0507211 [hep-th]]。

[8] R. Langlands, P. Pouliot 和 Y. Saint-Aubin, “二维渗透中的共形不变性，” Bull. Am. Math. Soc. **30**, 1-61 (1994) doi:10.1090/S0273-0979-1994-00456-2 [arXiv:math/9401222 [math-ph]]。

[9] V. Gurarie, M. Flohr 和 C. Nayak, “Haldane-Rezayi 量子霍尔态与共形场论，” Nucl. Phys. B **498**, 513-538 (1997) doi:10.1016/S0550-3213(97)00351-9 [arXiv:cond-mat/9701212

[cond-mat]]。

[10] A. Bissi, L. Donnay 和 B. Valsesia, “CCFT 中的对数微型双重态,” *JHEP* **12** (2024), 031 doi:10.1007/JHEP12(2024)031 [arXiv:2407.17123 [hep-th]]。

[11] M. Grinberg 和 J. Maldacena, “从热单点函数到黑洞奇点的原时,” *JHEP* **03**, 131 (2021) doi:10.1007/JHEP03(2021)131 [arXiv:2011.01004 [hep-th]]。

[12] J. Guillera, “一种证明 $1/\pi$ 的拉马努金级数的方法,” arXiv:1807.07394。

[13] F. Bhat, A. Sinha, 本论文的 Mathematica 笔记本, Wolfram 社区, STAFF PICKS, 2025 年4月2日, <https://community.wolfram.com/groups/-/m/t/3438221>

[14] M. R. Gaberdiel 和 H. G. Kausch, “有理对数共形场论,” *Phys. Lett. B* **386**, 131-137 (1996) doi:10.1016/0370-2693(96)00949-5 [arXiv:hep-th/9606050 [hep-th]]。

[15] M. R. Gaberdiel 和 H. G. Kausch, “一种局部对数共形场论,” *Nucl. Phys. B* **538**, 631-658 (1999) doi:10.1016/S0550-3213(98)00701-9 [arXiv:hep-th/9807091 [hep-th]]。

[16] M. R. Gaberdiel, “对数共形场论的代数方法,” *Int. J. Mod. Phys. A* **18**, 4593-4638 (2003) doi:10.1142/S0217751X03016860 [arXiv:hep-th/0111260 [hep-th]]。

[17] H. G. Kausch, “ $c = -2$ 时的奇事,” arXiv:hep-th/9510149 [hep-th]。

[18] 详见补充材料, 其中包含 [35-40]。

[19] F. Bhat, A. P. Saha 和 A. Sinha, “场论的弦色散关系,” [arXiv:2506.03862 [hep-th]]。

[20] J. Borwein 和 P. J. Borwein, “ π 与算术几何平均值 (AGM): 解析数论与计算复杂性研究,” 加拿大数学学会丛书 (John Wiley, New York, 1987)。

[21] M. Hogervorst, M. Paulos 和 A. Vichi, “对数 CFT 的 ABC (在任意维度 D 中),” *JHEP* **10**, 201 (2017) doi:10.1007/JHEP10(2017)201 [arXiv:1605.03959 [hep-th]]。

[22] 显式地 $a_0 = \frac{21825486901}{2147483648}$, $a_1 = -\frac{66594751779}{2147483648}$, $a_2 = \frac{52661096730}{2147483648}$ 。

[23] A. P. Saha 和 A. Sinha, “弦理论振幅的场论展开,” *Phys. Rev. Lett.* **132**, no.22, 221601 (2024) doi:10.1103/PhysRevLett.132.221601 [arXiv:2401.05733 [hep-th]]。

[24] F. Bhat, D. Chowdhury, A. P. Saha 和 A. Sinha, “通过纠缠极小化和机器学习自举弦模型,” *Phys. Rev. D* **111**, no.6, 066013 (2025) doi:10.1103/PhysRevD.111.066013 [arXiv:2409.18259 [hep-th]]。

[25] A. Sinha 和 A. Zahed, “量子场论中的交叉对称色散关系,” *Phys. Rev. Lett.* **126**, no.18, 181601 (2021) doi:10.1103/PhysRevLett.126.181601 [arXiv:2012.04877 [hep-th]]。

[26] R. Gopakumar, A. Sinha 和 A. Zahed, “梅林振幅的交叉对称色散关系,” *Phys. Rev. Lett.* **126**, no.21, 211602 (2021) doi:10.1103/PhysRevLett.126.211602 [arXiv:2101.09017 [hep-th]]。

[27] P. Raman 和 A. Sinha, “QFT, EFT 与 GFT,” *JHEP* **12**, 203 (2021) doi:10.1007/JHEP12(2021)203 [arXiv:2107.06559 [hep-th]]。

[28] A. Bissi 和 A. Sinha, “正性、低扭优势以及 CFT 的 CSDR,” *SciPost Phys.* **14**, no.4, 083 (2023) doi:10.21468/SciPostPhys.14.4.083 [arXiv:2209.03978 [hep-th]]。

[29] C. Song, “不含虚假奇异性的交叉对称色散关系,” *Phys. Rev. Lett.* **131**, no.16, 161602 (2023) doi:10.1103/PhysRevLett.131.161602 [arXiv:2305.03669 [hep-th]]。

[30] H. G. Kausch, “辛费米子,” *Nucl. Phys. B* **583**, 513-541 (2000) doi:10.1016/S0550-3213(00)00295-9 [arXiv:hep-th/0003029 [hep-th]]。

[31] D. Gaiotto 和 L. Rastelli, “开/闭对偶的一个范式: 刘维尔 D-膜与 Kontsevich 模型,”

JHEP **07**, 053 (2005) doi:10.1088/1126-6708/2005/07/053 [arXiv:hep-th/0312196 [hep-th]]。

[32] H. G. Kausch, “由一组主场多重态生成的扩展共形代数,” Phys. Lett. B **259**, 448-455 (1991) doi:10.1016/0370-2693(91)91655-F

[33] S. A. Hartnoll, “凝聚态物理的全息方法讲义,” Class. Quant. Grav. **26**, 224002 (2009) doi:10.1088/0264-9381/26/22/224002 [arXiv:0903.3246 [hep-th]]。

[34] A. Lewkowycz 和 J. Maldacena, “广义引力熵,” JHEP **08**, 090 (2013) doi:10.1007/JHEP08(2013)090 [arXiv:1304.4926 [hep-th]]。

[35] M. S. Mahadeva Naika, “拉马努金精神中的模方程,” 在班加罗尔 IIIT 的演讲, 2012年。

[36] H. Rosengren, “弦理论振幅与部分分式,” Ramanujan J. **67**, no.2, 26 (2025) doi:10.1007/s11139-025-01080-z [arXiv:2409.06658 [math.CA]]。

[37] J. G. Wan, “使用勒让德关系证明 $1/\pi$ 的级数,” arXiv:1302.5984。

[38] Y. He, “ $c = 0$ 体 CFT 中的对数算符,” [arXiv:2411.18696 [hep-th]]。

[39] P. A. Pearce, J. Rasmussen 和 J. B. Zuber, “对数算术极小模型,” J. Stat. Mech. **0611**, P11017 (2006) doi:10.1088/1742-5468/2006/11/P11017 [arXiv:hep-th/0607232 [hep-th]]。

[40] A. A. Belavin, A. M. Polyakov 和 A. B. Zamolodchikov, “二维量子场论中的无限共形对称性,” Nucl. Phys. B **241**, 333-380 (1984) doi:10.1016/0550-3213(84)90052-X

[41] P. Di Francesco, P. Mathieu 和 D. Senechal, 《共形场论》, Springer-Verlag, 1997。

[42] A. L. Fitzpatrick, J. Kaplan, D. Poland 和 D. Simmons-Duffin, “解析自举与 AdS 超视界局域性,” JHEP **12**, 004 (2013) doi:10.1007/JHEP12(2013)004 [arXiv:1212.3616 [hep-th]]。

[43] Z. Komargodski 和 A. Zhiboedov, “大自旋下的凸性与解放,” JHEP **11**, 140 (2013)

【高三解读】

这份文档是学术论文的参考文献部分 (References)，涵盖了理论物理 (特别是弦理论、共形场论 CFT) 和数学 (如数论、模方程) 的前沿研究。对于高三学生来说，理解这些内容虽然具有挑战性，但可以从中窥见现代科学的研究运作方式和学科交叉的美感。

1. 核心知识点解析

- 共形场论 (Conformal Field Theory, CFT):** 文献中多次提到 (如 [14], [41])。在高中物理中，我们学习对称性 (如平移对称、旋转对称)。共形对称性更进一步，是指在尺度变换 (放大或缩小) 下保持物理规律不变。这在描述相变 (如液态变气态的临界点) 和弦理论中至关重要。
- 拉马努金级数与 π :** 文献 [12], [20], [37] 涉及对圆周率 π 的计算。拉马努金是天才数学家，他发现了一些极其复杂的无穷级数来逼近 π 。这展示了纯数学 (数论) 与物理 (弦理论中的振幅计算) 之间的深层联系。
- 黑洞奇点与热力学:** 文献 [11] 涉及 Maldacena 的研究。他是现代引力理论的泰斗。这部分探讨了广义相对论与量子力学在高能物理中的融合。
- 机器学习的应用:** 文献 [24] 提到用“机器学习 (Machine Learning)”来研究弦模型。这说明人工智能已经成为物理学家探索自然基本规律的新工具。

2. 学术研究方法：如何读懂“天书”？

- **引用机制**：每一个编号代表一项前人的工作。科学研究不是空中楼阁，而是“站在巨人的肩膀上”。
- **arXiv 编号**：如 [arXiv:2409.18259]。这是一个全球开放的预印本库。通过这个编号，任何人都可以在网上免费阅读这些最新的研究论文。
- **DOI 编码**：数字对象标识符，相当于每篇论文的“身份证号”，用于在正式期刊数据库中精确定位。

3. 给高三学生的启示与解题思维

- **学科交叉思维**：物理题有时会考察数学推导（如级数、极限），而数学题也常有物理背景。这页文献展示了物理、数学、计算机科学是如何紧密交织的。
- **严谨性**：文献 [22] 中给出的系数 a_0, a_1, a_2 是极其精确的分数。在高中数学运算中，也要养成保持数值精确度、不随意四舍五入的习惯，尤其是在处理解析几何或导数大题时。
- **未来展望**：如果你对黑洞、量子世界或人工智能感兴趣，物理专业或应用数学专业将是你大学的最佳选择。这些复杂的公式和理论，正是人类试图揭开宇宙奥秘的最强武器。

第 9 页

【原文翻译】

doi:10.1007/JHEP11(2013)140 [arXiv:1212.4103 [hep-th]].\n[44] S. Pal, J. Qiao 和 S. Rychkov, “共形场论中的扭曲累积：光锥自举的一种严谨方法”，*Commun. Math. Phys.* 402, no.3, 2169-2214 (2023) doi:10.1007/s00220-023-04767-w [arXiv:2212.04893 [hep-th]]。 \n[45] A. Bissi, A. Sinha 和 X. Zhou, “解析共形自举的精选课题：一个引导之旅”，*Phys. Rept.* 991, 1-89 (2022) doi:10.1016/j.physrep.2022.09.004 [arXiv:2202.08475 [hep-th]]。 \n[46] L. F. Alday, “共形场论的大自旋扰动理论”，*Phys. Rev. Lett.* 119, no.11, 111601 (2017) doi:10.1103/PhysRevLett.119.111601 [arXiv:1611.01500 [hep-th]]。 \n[47] B. C. van Rees, “光锥自举定理”，[arXiv:2412.06907 [hep-th]]。 \n[48] 更准确地说，当 $0 \leq \sigma \leq 1$ 时，它的行为表现为 $z^{-\sigma}$ ；当 $\sigma = 1/2$ 时，表现为 $z^{-1/2} \log(z)$ 。 \n[49] 这一结论的有效性可以通过数值核对，例如参考 [28] 中的分析。 \n[50] 色散表示在获取 $1/\pi$ 的级数表示方面似乎并无用处，因为积分外并没有显式出现的 $1/\pi$ 因子。然而，我们可以重用色散关系来替换积分中的 $F_\sigma F_\sigma$ 因子，这可能用于此类目的。这一构想在补充材料中进行了简要讨论。 \n[51] 该理论在二维拓扑引力 [31] 中也发挥了作用。 \n\n### 补充材料 \n\n### 关于模方程的更多内容 \n\n在正文中，我们简要讨论了模方程。拉马努金 (Ramanujan) 在其笔记本 [35] 中给出的模方程最简单的例子是从以下式子开始： \n

$$F(x) \equiv {}_1F_0\left(\frac{1}{2}; x\right) = \sum_{n=0}^{\infty} \frac{\left(\frac{1}{2}\right)_n}{n!} x^n, \quad (37)$$

\n它满足\n

$$F\left(\frac{2t}{1+t}\right) = (1+t)F(t^2). \quad (38)$$

\n那么 $z \equiv 2t/(1+t)$, $\bar{z} \equiv t^2$ 满足 2 阶模方程: \n

$$\bar{z}(2-z)^2 = z^2, \quad (39)$$

\n且 $(1+t)$ 被称为乘子 (multiplier)。我们利用正文中的符号给出一些源于复杂的 θ 函数恒等式 [20] 的更具挑战性的非平凡例子。 \n $n=2$; $\bar{z} = \frac{4\sqrt{z}}{(1+\sqrt{z})^2}$, (40) \n $n=3$; $(z\bar{z})^{1/4} + (1-z)^{1/4}(1-\bar{z})^{1/4} = 1$, (41) \n $n=7$; $(z\bar{z})^{1/8} + (1-z)^{1/8}(1-\bar{z})^{1/8} = 1$. (42) \n 一旦给出了方程, 我们就可以使用\n

$$M_n^2(\bar{z}) = \frac{\bar{z}(1-\bar{z})}{z(1-z)} \frac{dz}{d\bar{z}}, \quad (43)$$

\n通过隐函数求导的方法来计算 $M_n(\bar{z})$ 。我们注意到以下显式结果: \n

$$\left. \frac{dM_2(\bar{z})}{d\bar{z}} \right|_{\bar{z}=1-z_0} = -\frac{2+\sqrt{2}}{4}, \quad z_0 = 3-2\sqrt{2} \approx 0.172, \quad (44)$$

\n

$$\left. \frac{dM_3(\bar{z})}{d\bar{z}} \right|_{\bar{z}=1-z_0} = -\frac{4}{\sqrt{3}}, \quad z_0 = \frac{2-\sqrt{3}}{4} \approx 0.0670, \quad (45)$$

\n

$$\left. \frac{dM_7(\bar{z})}{d\bar{z}} \right|_{\bar{z}=1-z_0} = -\frac{80}{\sqrt{7}}, \quad z_0 = \frac{8-3\sqrt{7}}{16} \approx 0.00392, \quad (46)$$

","interpretation":"### 高三数学深度解读\n\n1. **从级数展开看函数定义**: \n 在高三数学中, 我们熟悉等比数列 $\sum q^n$ 的求和。公式 (37) 引入了超几何级数 ${}_1F_0$, 这是一种更广义的函数定义方式。对于高三学生来说, 理解“函数不仅可以由解析式定义, 也可以通过无穷级数定义”是理解高等数学的重要一步。 \n\n2. **隐函数求导的实战应用**: \n 公式 (43) 展示了隐函数求导在高等研究中的威力。当 z 和 \bar{z} 通过如 (41) 或 (42) 这样复杂的代数方程联系在一起时, 我们无法写出显式的 $z = f(\bar{z})$ 。此时, 利用导数的运算法则对等式两边同时关于 \bar{z} 求导, 是解决此类问题的核心技巧。这与高中数学中求圆或双曲线切线斜率的方法异曲同工。 \n\n3. **拉马努金与数学直觉**: \n 文中提到的拉马努金是历史上最伟大的直觉天才之一。公式 (41) 和 (42) 展现了极高的对称美感。在高三数学竞赛或难题中, 观察方程的结构 (如 z 与 $1-z$ 的对称性) 往往是

破解问题的钥匙。

4. **数值估算与精度意识**: 公式 (44-46) 中给出了具体的数值估算 (如 $z_0 \approx 0.172$)。在高三备考中, 培养对无理数 (如 $\sqrt{2} \approx 1.414$, $\sqrt{3} \approx 1.732$) 的敏感度, 能够帮助你在物理选择题或数学填空题中快速通过排除法找到答案。

5. **跨学科的基石**: 这段内容虽然涉及深奥的“共形场论”和“模方程”, 但其基础依然是微积分和代数恒等式。这提醒同学们, 高中阶段学习的每一项基础数学工具, 在未来的前沿科学的研究中都有着不可替代的作用。")

高三深度学术解读

1. 知识背景：高等物理与数学的交汇

这段文字涉及的是共形场论 (Conformal Field Theory, CFT), 这是理论物理和高等数学 (如李代数、复变函数) 的前沿领域。虽然内容远超高三课纲, 但其核心逻辑与我们学习的函数性质和极限思想高度契合。

2. 核心概念剖析

- **参数与状态 (σ, h)**: 在物理模型中, 这些变量代表系统的特定状态。高三学生可以将其类比为函数中的参数 (如 $y = ax^2$ 中的 a)。当参数变化时, 整个函数的性质 (如开口方向、单调性) 可能发生质变。
- **极限思想 ($\lambda \rightarrow \infty$)**: 这是高三数学微积分初步中的核心。物理学家通过研究变量趋于无穷大时的行为, 来寻找系统的某种‘稳态’或‘普适规律’。文中提到的‘不具备普适性’, 意味着在该特定条件下, 公式不再遵循某种统一的简明规律。
- **单位算符 (Identity Operator)**: 在数学中类似于单位元 (如乘法中的 1)。如果一个系统失去了单位算符的贡献, 往往意味着它的某种对称性或基础结构发生了改变。

3. 解题思维启发

- **分类讨论的重要性**: 文中提到‘对于其它的 σ ’结果不同, 这正提醒我们在处理数学综合题 (如含参导数题) 时, 必须严谨地进行分类讨论, 不能因为形式相似就盲目套用结论。
- **观察权重的微小差异**: 文本对比了 $h = -3/32$ 与 $h = -5/16$ 等数值。这启示我们, 在理综考试中, 即便模型相似, 细微的数据差异 (如化学平衡常数的微变) 也可能导致完全不同的结论。

4. 学科前瞻

量子场论中的‘关联函数’描述了粒子间的相互影响。虽然现在看起来像天书, 但它们建立在大家正在学习的概率统计、三角函数和极限理论基础之上。保持好奇心, 基础数学正是通往宇宙奥秘的钥匙。

第 10 页

【原文翻译】

我们预期，由于正文中的共形块展开对应于 s -道算符乘积展开 (OPE)，随着 n 的增加，对于相同数量的算符，我们将获得愈发精确的 $1/\pi$ 位数。事实上，我们预期在大 n 极限下，仅对数恒等算符 (log-identity operator) 就提供了全部贡献。事实似乎确实如此，我们在下方列出了我们的发现 (针对 $\sigma = 1/2$ 的情况)：
 $n = 10$ 个算符 | 1 个算符 | \dots | \dots | \dots | 1 | 7 | 1 | 2 | 11 | 2 | 3 | 15 | 3 | 7 | 24 | 5 | 12 | 33 | 7 | 58 | 78 | 18 | 64 | 82 | 19 | 1024 | 344 | 84 |
表 I：在共形块分解中，10 个非零算符以及仅使用对数恒等算符所得结果在十进制位上的一致性。我们添加了 $n = 12, 58, 64, 1024$ 的结果。 $n = 64, 1024$ 的情形遵循文献 [20] 第 160, 161 页给出的递归关系。对于 $n = 1024$ 的情况， $z_0 \sim O(10^{-43})$ 。

对色散关系的验证
正文所使用的色散表示遵循文献 [23, 24, 27, 28] 中的分析，且主要公式受弦理论 [23, 24] 的启发。文献 [36] 中对 [23] 中发现的受弦理论启发的公式提供了一个独立的数学证明。如果能找到我们色散表示的其他证明，那将是非常好的。由于色散表示在共形场论 (CFT) 语境中的应用可能比较陌生，我们将首先列出一些非平凡的数值验证，以防读者希望进行类似的检查。具体而言，让我们使用 $F(z, w) = F_{\frac{1}{2}}(z)F_{\frac{1}{2}}(w) + F_{\frac{1}{2}}(1 - z)F_{\frac{1}{2}}(1 - w)$ ，对此我们有：

$$F(z, w) = \frac{1}{\pi} \int_1^\infty d\xi H^{(\lambda_1)}(\xi, z, w) F_{\frac{1}{2}}(1 - \xi) F_{\frac{1}{2}}(\eta^{(\lambda_1)}(\xi, z, w)) - \frac{1}{\pi} \int_{-\infty}^0 d\xi H^{(\lambda_2)}(\xi, z, w) F_{\frac{1}{2}}(\xi)$$

我们需要 $Re(\lambda_1) > -1, Re(\lambda_2) < 0$ 以避免伪奇点。
1. 选择 $\lambda_2 = -\lambda_1$ 并将 λ_1 从 1 调节至 100，我们已经验证了（我们使用的 Mathematica 精度为 AccuracyGoal=50, PrecisionGoal=10, MaxRecursion=50, WorkingPrecision=30）：

$$F\left(\frac{1}{10}, \frac{3}{10}\right) = 3.2884898786, \quad F\left(\frac{1}{2}, \frac{1}{2}\right) = 2.7864078594, \quad (48)$$

这些是预期的答案。
2. 我们选择 $\lambda_2 = -\lambda_1 > 0$ 以避免在积分线上引入极点。我们也可以通过选择 $\lambda_2 = \lambda_1 = p + i$ 并调节 p 来避免这种情况。这会得到与之前相同的结果。
3. 我们还验证了对于位于割线之上或之下的 z, w 值，答案随 λ_i 的恒定性。
嵌套积分表示
色散表示的一个迷人后果是嵌套积分的可能性。请注意， $F_\sigma(x)F_\sigma(y)$ 的色散表示在积分内部再次出现了带有不同参数的二次项 F_σ 。因此，我们可以嵌套这些积分。例如，第一次嵌套导致：

$$K_\sigma[z, w] \equiv F_\sigma(z)F_\sigma(w) = \frac{\sin^2 \pi \sigma}{\pi^2} \int_1^\infty \int_{-1}^\infty d\xi_1 d\xi_2 H^{(\lambda_1)}(\xi_1, z, w) H^{(\lambda_2)}(\xi_2, 1 - \xi_1, \eta^{(\lambda_1)}(\xi_1, z, w))$$

【高三解读】

这份学术文本探讨了理论物理中极其前沿的共形场论 (CFT) 课题，虽然公式极其复杂，但其核心逻辑对于高三学生在数学和物理建模上具有极佳的参考价值。

1. 级数收敛与数值精度：表 1 展示了一个深刻的数学思想——随着阶数 n 的增加，级数展开所得结果的有效数字位数显著增加。这与高中阶段接触到的圆周率计算、泰勒展开等思想异曲同工。它告诉我们，复杂物理量可以通过有限项展开进行高精度模拟，而“大 n 极限”下某些算符占主导地位则是简化问题的关键。

2. 科学验证的严谨性：文中特别强调了“非平凡数值验证”(nontrivial numerical checks)。在面对弦理论等高度抽象的数学模型时，科学家通常会带入特定点（如 $1/10, 3/10$ ）进行高精度数值计算，通过软件（如 Mathematica）的运算结果与理论预期的一致性来反向验证公式的正确性。这是“大胆假设，小心求证”在现代物理中的具体体现。

3. 奇点与定义域限制：在处理积分公式 (47) 时，文中提到需要限制复数参数 λ 的实部范围以避免“伪奇点”。这对应高中数学中对函数定义域的严格把控。在高三复杂的函数或解析几何题中，讨论参数范围、排除导致分母为零或无意义的“坏点”是得分的关键。

4. 嵌套与迭代思维：公式 (49) 展示了数学结构上的“自相似性”。原本的积分表示中再次出现了函数自身的形式，从而可以无限嵌套。这种思想在高中数列（递归数列）或计算机算法（递归）中经常出现，体现了利用简单结构循环叠加从而描述复杂系统的智慧。

第 11 页

【原文翻译】

11

这可能是一个研究 π 的新公式的富有成效的起点，因为与没有嵌套、其色散表示前面带有 $1/\pi$ 的公式不同，这个公式带有一个额外的 $1/\pi$ 幂次。因此，应用勒让德关系 (Legendre relation) 可能会给出关于 π 的公式。这也应该在自举 (bootstrap) 的背景下进行研究。

拉马努金-奥尔级数 (RAMANUJAN-ORR SERIES)

虽然拉马努金最初的级数似乎依赖于克劳森恒等式 (Clausen identity)，但一个类似的关于 $1/\pi$ 的级数，有时被称为拉马努金-奥尔级数，源于奥尔关系 [37]：

$$F_\sigma(x)F_\sigma\left(\frac{x}{x-1}\right) = {}_4F_3\left(\sigma, \sigma, 1-\sigma, 1-\sigma; \frac{1}{2}, 1, 1; -\frac{x^2}{4(1-x)}\right).$$

由此导出的关于 $1/\pi$ 的拉马努金-奥尔级数为：

$$\sum_{n=0}^{\infty} \frac{(\sigma)_n^2 (-\sigma)_n^2}{4^n (\frac{1}{2})_n n!^3} \frac{\sigma^2 - 3n^2}{\sigma} = \frac{\sin \pi \sigma}{\pi}$$

虽然原始的拉马努金公式似乎需要 $c < 0$ ，但对于 $\sigma = 2/3$ 的拉马努金-奥尔公式对应于 $c = 0$ ，这出现在另一个被广泛研究的对应于渗透 (percolation) 的对数共形场论 (LCFT) 中 [6, 8, 38]。对于拉马努金-奥尔级数背后的物理学，我们也可以拥有具有 $c > 0$ 的非幺正 CFT，这对应于 $2/3 \leq \sigma \leq 3/2$ (我们将限制在 $\sigma < 1$)。文献中研究过的一个例子是 $\sigma = 3/4$ 的情况，它对应于 $c = 1/2$ 。在 [39] 中，这被称为对数伊辛模型 (logarithmic Ising model)。该文献中提到的另一个例子是 $\sigma = 4/5$ ，对应于 $c = 7/10$ ，被称为对数三临界伊辛模型 (logarithmic tricritical Ising model)。

与具有其他中心荷的 LCFT 的联系

拉马努金 $1/\pi$ 公式不仅与源自 Virasoro $(1, 2)$ 模型的 $c = -2$ 处的三重代数 (triplet algebra) 有关，还与其它中心荷的有理 CFT 相关，这些中心荷的手征代数是源自 Virasoro $(1, q)$ 模型的权重三重代数。这些 LCFT 与极小模型 (minimal models) 有关。在确定 $q = 1/\sigma$ 后，它们具有由 Virasoro $(1, 1/\sigma)$ 极小模型给出的中心荷，即 $c = 13 - 6(\sigma + \sigma^{-1})$ 。

对于 $\sigma = \{1/2, 1/3, 1/4, 1/6\}$ ，我们得到 $c = \{-2, -7, -25/2, -24\}$ 的 LCFT。我们已经讨论过 $c = -2$ ， $c = -24$ 出现在渗透的研究中 [7]，而 $c = -7$ 在 [5] 中有简要讨论，而我们尚未在任何物理背景中发现有关 $c = -25/2$ 理论的提及。

为了得到感兴趣的关联函数 (correlators)，我们考虑 Virasoro $(1, 1/\sigma)$ 极小模型中的简并表示 (degenerate representations)。这些表示在 rs 能级的最高权重态具有权重 $h_{r,s} = \frac{(r-\sigma s)^2 - (1-\sigma)^2}{4\sigma}$ 。现在考虑极小模型中的四点关联函数 $\langle \Phi_{r,s}(0)\Phi_{1,2}(z, \bar{z})\Phi_{r,s}(1)\Phi_{1,2}(\infty) \rangle$ 。关联函数的手征 (全纯) 部分满足以下二阶 BPZ 微分方程 [40, 41]：

$$\left(\frac{z(1-z)}{\sigma} \partial_z^2 + (1-2z)\partial_z - \frac{h_{r,s}}{z(1-z)} \right) G(z) = 0.$$

通常情况下，此方程的解不具有对数奇异性。但如果我们考虑 $s = r/\sigma$ ，使得 $h_{r,r/\sigma} = -(\sigma - 1)^2/4\sigma$ ，则两个解变为：

$$z(1-z)^{\frac{1-\sigma}{2}} F_\sigma(z), \quad z(1-z)^{\frac{1-\sigma}{2}} F_\sigma(1-z),$$

它们具有对数奇异性。完整的关联函数由下式给出：

$$\langle \Phi_{r,r/\sigma}(0)\Phi_{1,2}(z, \bar{z})\Phi_{r,r/\sigma}(1)\Phi_{1,2}(\infty) \rangle = |z(1-z)|^{1-\sigma} F(z, \bar{z}),$$

$$F(z, \bar{z}) = F_\sigma(z)F_\sigma(1-\bar{z}) + F_\sigma(\bar{z})F_\sigma(1-z).$$

因此，我们发现该关联函数的形式与我们在辛费米子（symplectic fermion）模型中看到的扭曲（twist） σ 态的形式非常相似。事实上，对于 $\sigma = 1/2$ ，我们恢复了与 C_2 扭曲模型中权重 $h = -1/8$ 的扭曲场完全相同的关联函数。

【高三解读】

这份学术文本探讨了数学中拉马努金级数与量子场论（特别是对数共形场论）之间深刻而奇妙的联系。对于高三学生，我们可以从以下几个维度来深度解读：

1. 跨学科的数学之美：从无穷级数到物理模型

- **核心背景：**拉马努金（Ramanujan）是伟大的数学直觉天才，他发现了一系列收敛极快的计算 $1/\pi$ 的级数。文中提到的级数(51)看起来极其复杂，但其结果却与 $\sin \pi\sigma/\pi$ 这种简洁的形式挂钩。这提醒我们在处理复杂数学问题时，往往存在隐藏的对称性。
- **物理联系：**文中将这些纯数学公式与物理中的“渗透”（液体穿过孔隙），“伊辛模型”（描述铁磁性）联系起来。这展示了现代科学的特点：数学工具往往能在看似无关的物理领域找到用武之地。

2. 知识点深度解析（面向竞赛与提升）

- **特殊函数（超几何函数）：**公式中的 ${}_4F_3$ 代表广义超几何函数。虽然这不是高中课标要求，但其背后的逻辑——**级数求和的思想**——是高考数列求和（如错位相减、裂项相消）的高级延伸。公式(51)本质上是一个极其复杂的无限求和过程。
- **二阶微分方程（BPZ 方程）：**公式(52)展示了一个二阶偏微分方程。在高中物理中，我们学习过简谐运动的位移方程 $x'' + \omega^2 x = 0$ ，那就是一种最简单的二阶微分方程。文中的方程则复杂得多，描述了场论中粒子（或场）的关联行为。
- **参数 σ 的意义：** σ 在这里起到了“桥梁”作用。不同的 σ 取值对应不同的物理系统（如 $\sigma = 3/4$ 对应经典物理实验中的相变模型）。

3. 解题思维与常见陷阱

- **符号系统：**面对文中复杂的符号（如 $(\sigma)_n$ 阶乘幂符号、 ∂_z 微分符号），学生应学会通过上下文识别其代表的数学运算，而不是被复杂的外表吓倒。这培养了阅读高等学术资料的能力。
- **中心荷 c 的计算：**公式 $c = 13 - 6(\sigma + \sigma^{-1})$ 是一个典型的函数代换过程。如果给定 $\sigma = 1/2$ ，代入计算即可得到 $c = -2$ 。这类代数计算在数学竞赛中非常常见，考察对函数结构的敏感度。

4. 学科视野：什么是“对数”奇异性？

- 在高中数学中，我们知道 $\ln x$ 在 $x = 0$ 处没有定义。文中所说的“对数奇异性”是指函数在某些特定点附近的行为变得像 $\ln z$ 一样趋向无穷大。在物理学中，这通常意味着系统在这一点发生了质变（相变）。

建议：高三学生在阅读此类文本时，不必深究每一个物理名词的定义，而应关注数学结构是如何构建的，以及公式是如何通过参数变化（如 σ ）将数学常数 π 与物理现象联系起来的。

第 12 页

【原文翻译】

对于其它的 σ ，尽管形式相似，但它们并不相关。例如，对于 $\sigma = 1/4$ ，虽然我们在 C_4 扭曲模型中得到了权重为 $h = -3/32$ 的扭曲场关联函数，但在本例中，我们在中心荷 $c = -25/2$ 的对数共形场论（LCFT）中得到了权重为 $h_{1,2} = -5/16$ 和 $h_{r,r/\sigma} = -9/16$ 的场关联函数。两者的共形块分解（conformal block decompositions）表现也截然不同。在这种情况下，由于算符权重不同，单位算符（identity operator）对关联函数没有贡献，因此在 $\lambda \rightarrow \infty$ 的极限下，勒让德关系（Legendre relation）中不存在普适性。

【高三解读】

高三学科深度解析\n\n1. 知识背景：高等物理与数学的交汇\n\n这段文字涉及的是共形场论（Conformal Field Theory, CFT），这是理论物理和高等数学（如李代数、复变函数）的前沿领域。虽然内容远超高三课纲，但其核心逻辑与我们学习的函数性质和极限思想高度契合。 \n\n2. 核心概念剖析\n- 参数与状态（

σ, h ）：在物理模型中，这些变量代表系统的特定状态。高三学生可以将其类比为函数中的参数（如 $y = ax^2$ 中的 a ）。当参数变化时，整个函数的性质（如开口方向、单调性）可能发生质变。 \n- 极限思想（ λ ）

rightarrow

infty): 这是高三数学微积分初步中的核心。物理学家通过研究变量趋于无穷大时的行为，来寻找系统的某种‘稳态’或‘普适规律’。文中提到的‘不具备普适性’，意味着在该特定条件下，公式不再遵循某种统一的简明规律。

\n- 单位算符 (Identity Operator): 在数学中类似于单位元 (如乘法中的 1)。如果一个系统失去了单位算符的贡献，往往意味着它的某种对称性或基础结构发生了改变。

\n\n3. 解题思维启发\n- 分类讨论的重要性：文中提到‘对于其它的 *sigma*’结果不同，这正提醒我们在处理数学综合题 (如含参导数题) 时，必须严谨地进行分类讨论，不能因为形式相似就盲目套用结论。

\n- 观察权重的微小差异：文本对比了 $h = -3/32$ 与 $h = -5/16$ 等数值。这启示我们，在理综考试中，即便模型相似，细微的数据差异 (如化学平衡常数的微变) 也可能导致完全不同的结论。

\n\n4. 学科前瞻\n- 量子场论中的‘关联函数’描述了粒子间的相互影响。虽然现在看起来像天书，但它们建立在大家正在学习的概率统计、三角函数和极限理论基础之上。保持好奇心，基础数学正是通往宇宙奥秘的钥匙。